
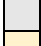



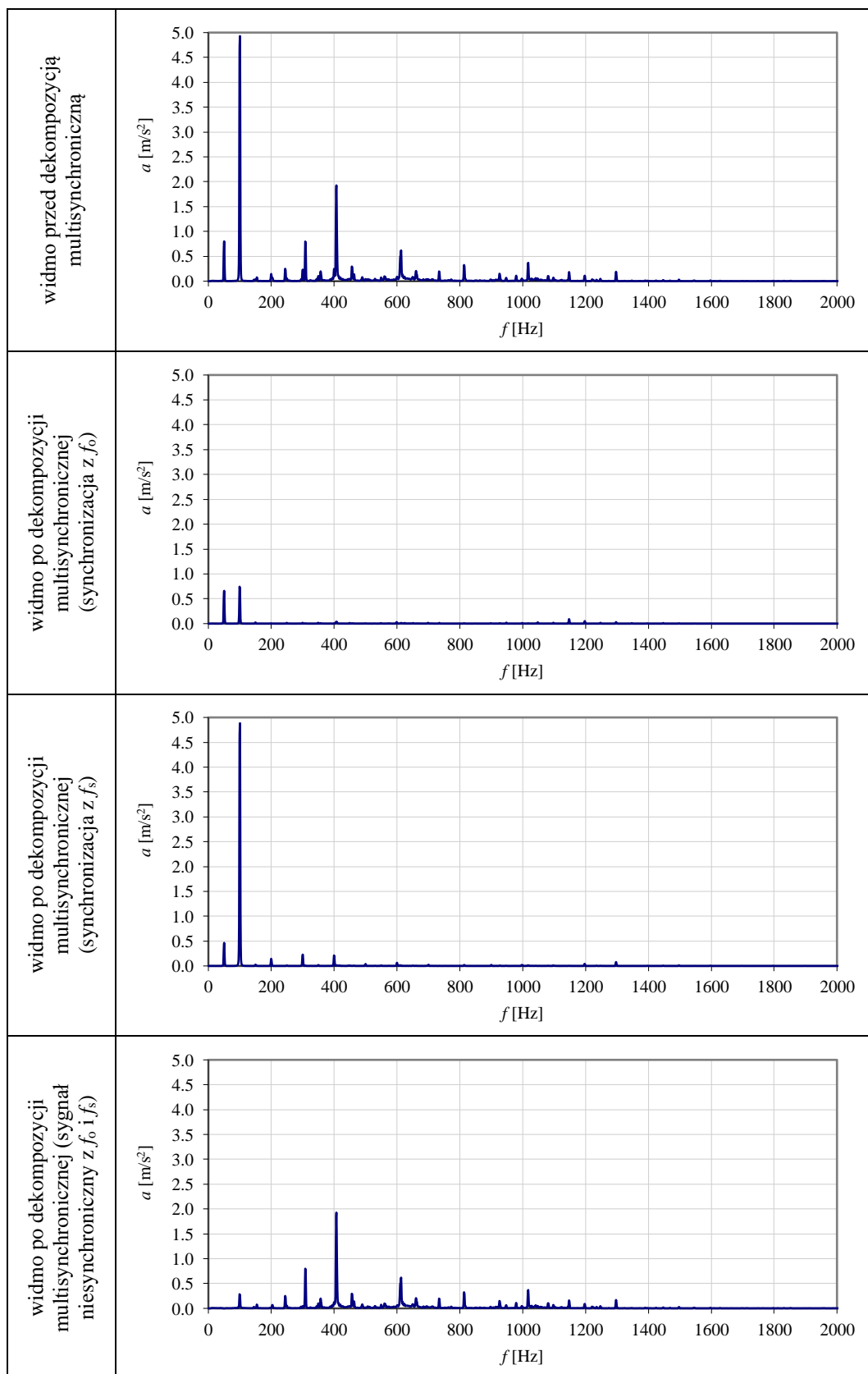
ZAŁĄCZNIK 2

Widma przyspieszeń drgań silnika GUNT PT500.19 przed i po procesie dekompozycji multisynchronicznej (synchronizacja z częstotliwością obrotową f_0 , częstotliwością sieci f_s oraz widmo sygnału niesynchronicznego z f_0 i f_s).

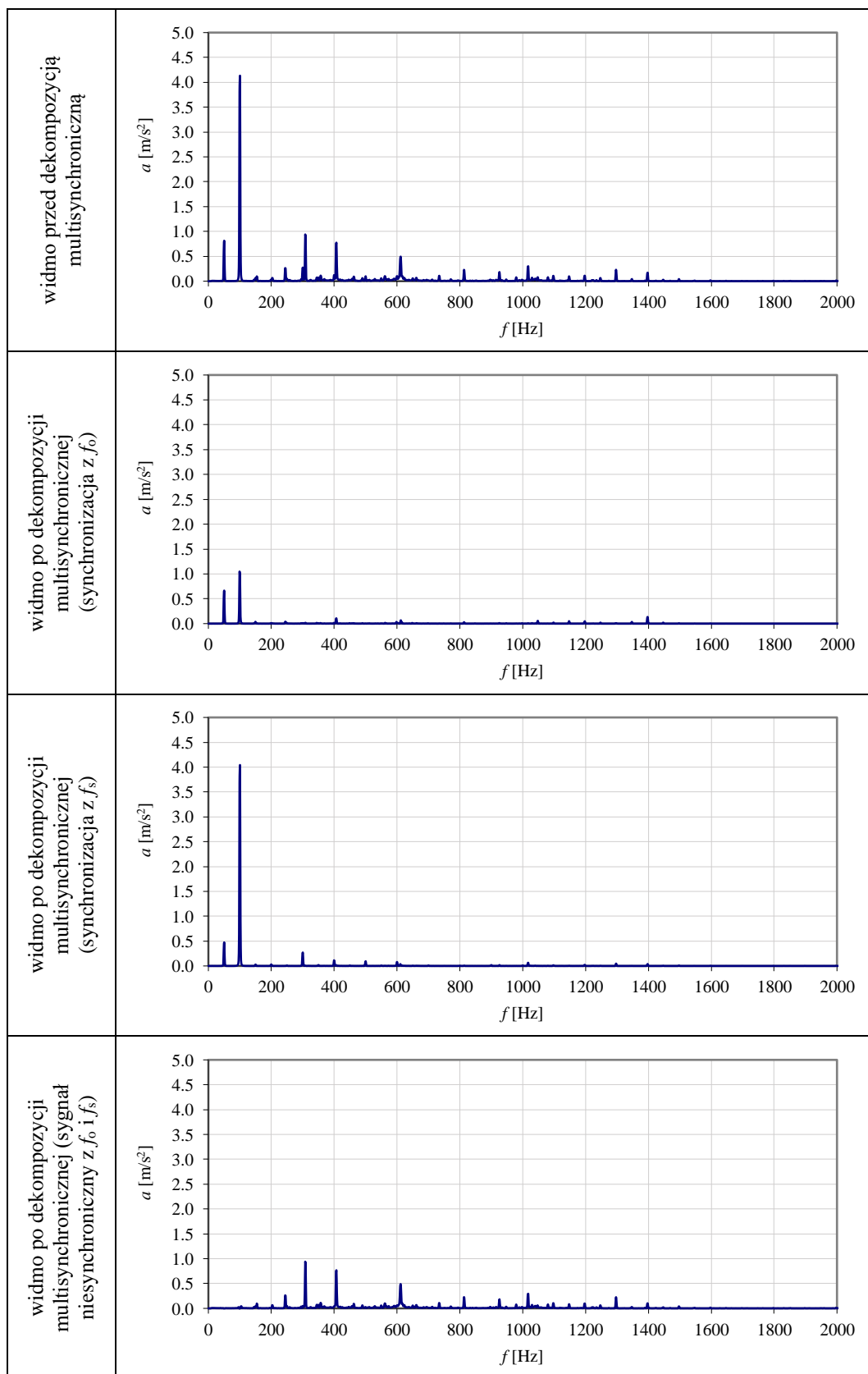
Przedstawione wyniki dotyczą sygnałów rejestrowanych na przetworniku 1 dla we wszystkich kierunkach pomiarowych oraz wybranych wprowadzonych wad produkcyjnych.

Punkty i kierunki pomiarowe zostały oznaczone kolorami:

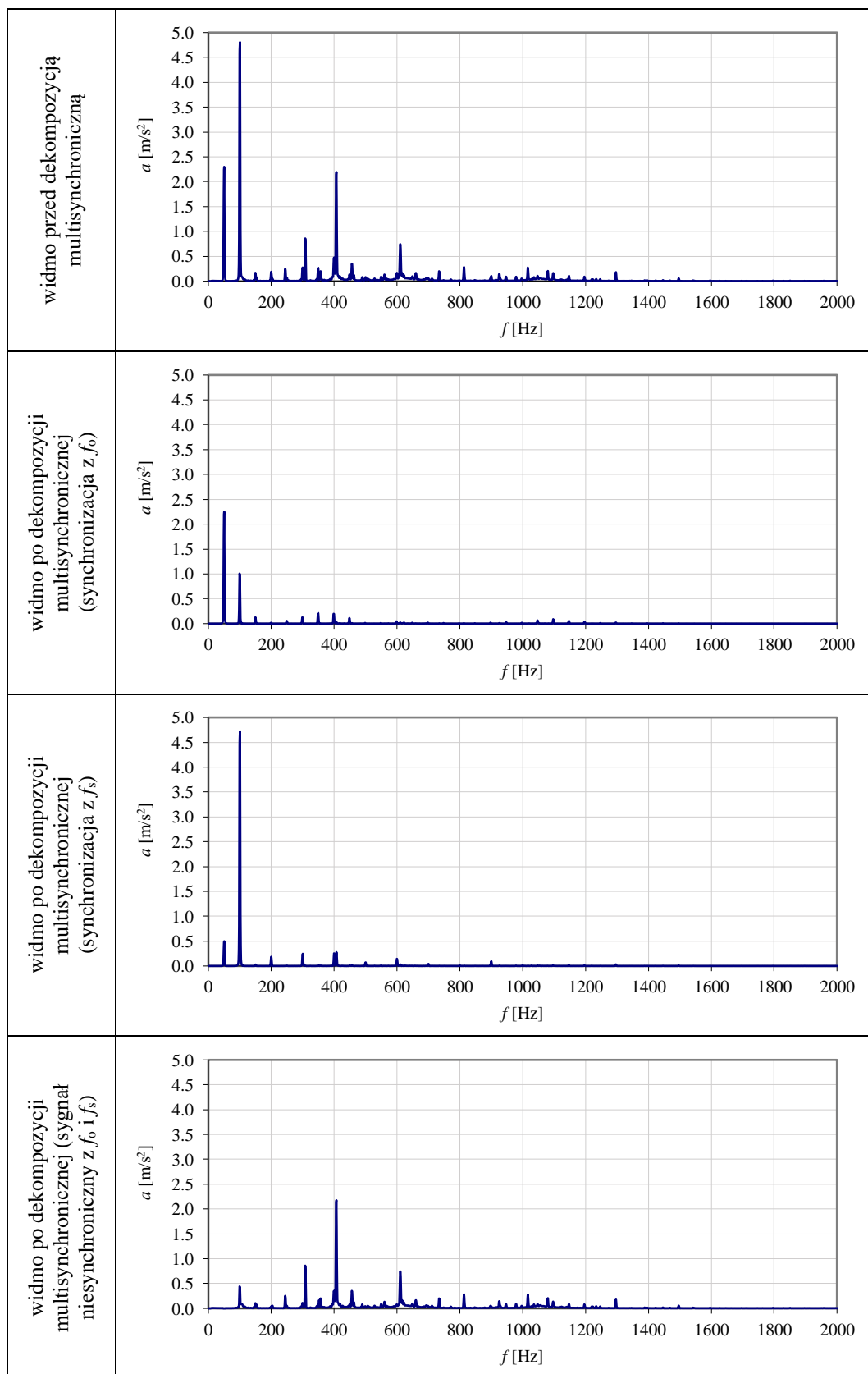
-  - pomiar realizowany na przetworniku 1 w kierunku osiowym
-  - pomiar realizowany na przetworniku 1 w kierunku stycznym
-  - pomiar realizowany na przetworniku 1 w kierunku promieniowym



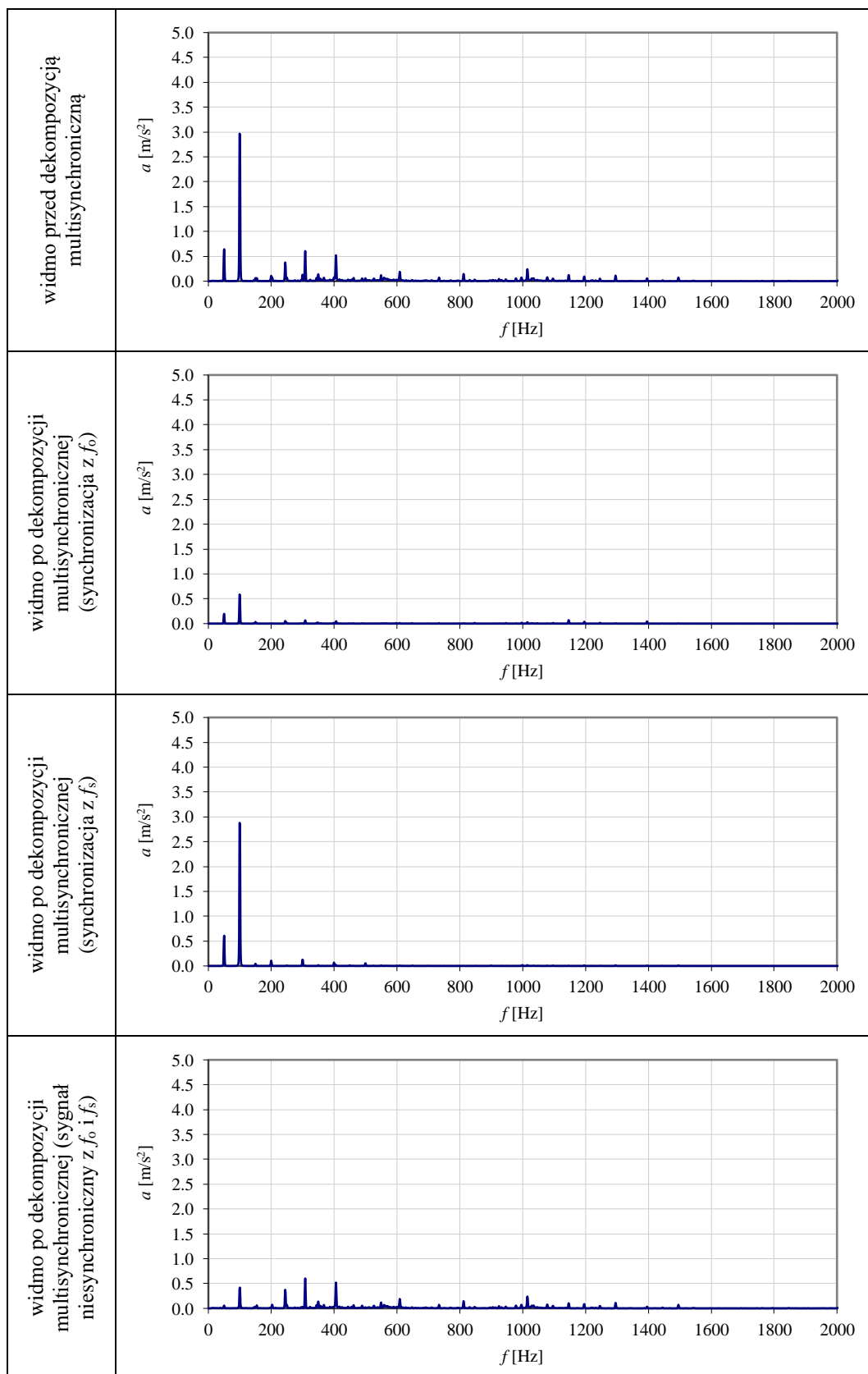
Rys. 1. Widma przyspieszeń drgań silnika GUNT PT500.19 rejestrowanych na czujniku 1 w kierunku osiowym do korpusu silnika przed i po procesie dekompozycji multisynchronicznej (silnik bez wad) [opr. własne]



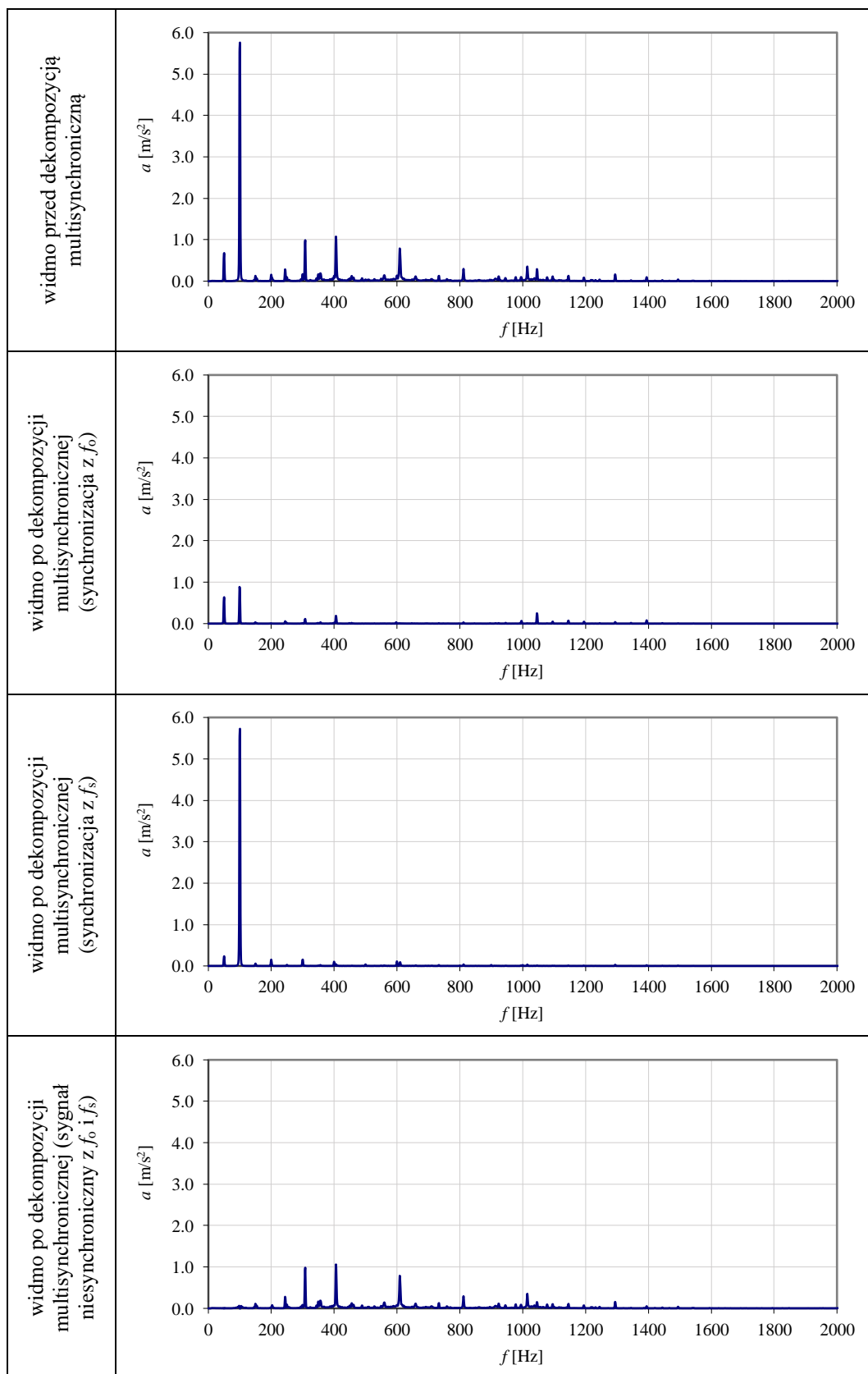
Rys. 2. Widma przyspieszeń drgań silnika GUNT PT500.19 rejestrowanych na czujniku 1 w kierunku osiowym do korpusu silnika przed i po procesie dekompozycji multisynchronicznej (powiększona niecentryczność wirnika względem stojana o ok. 0,2 mm) [opr. własne]



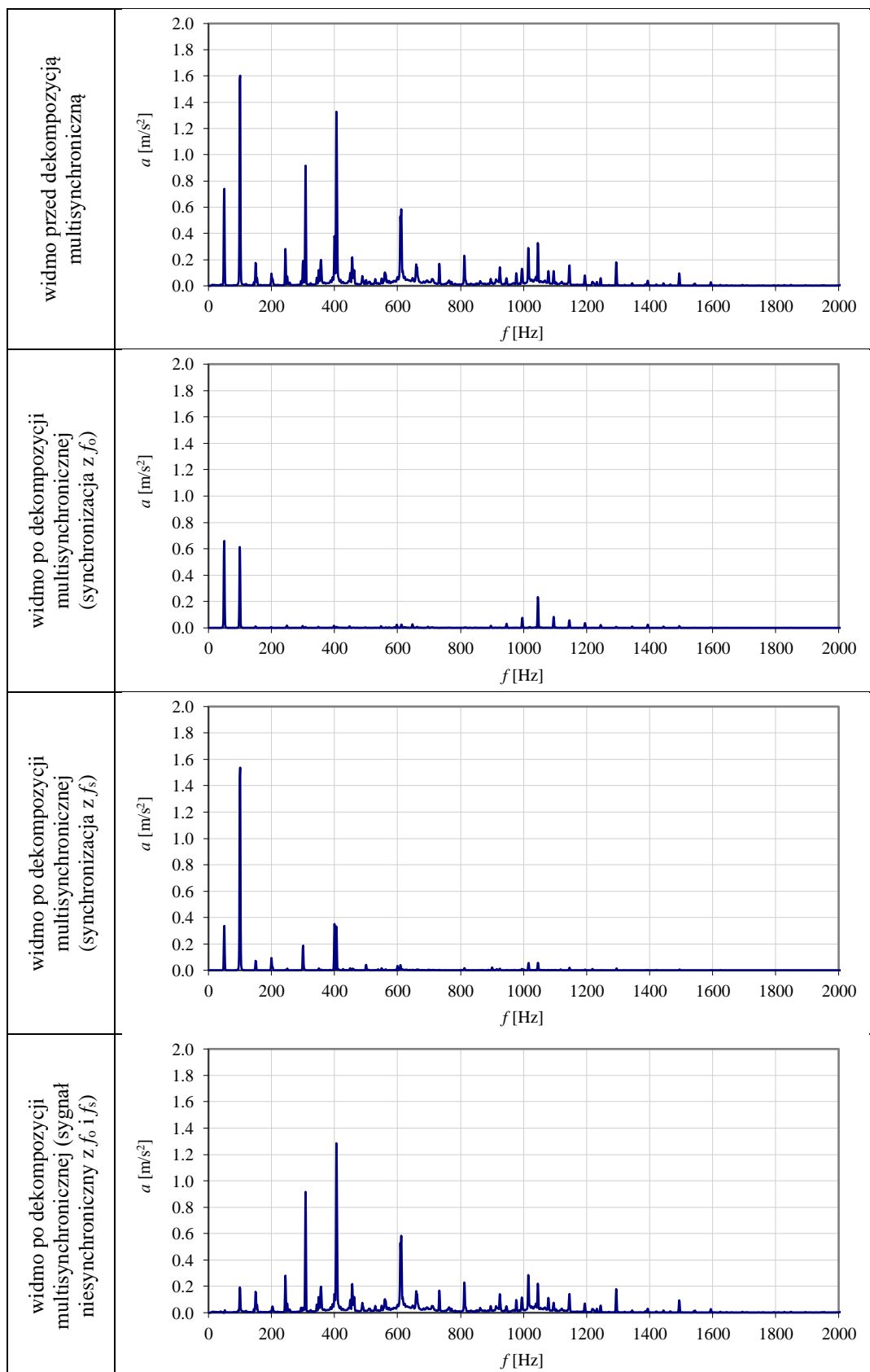
Rys. 3. Widma przyspieszeń drgań silnika GUNT PT500.19 rejestrowanych na czujniku 1 w kierunku osiowym do korpusu silnika przed i po procesie dekompozycji multisynchronicznej (niewyważenie wirnika 180 g·mm) [opr. własne]



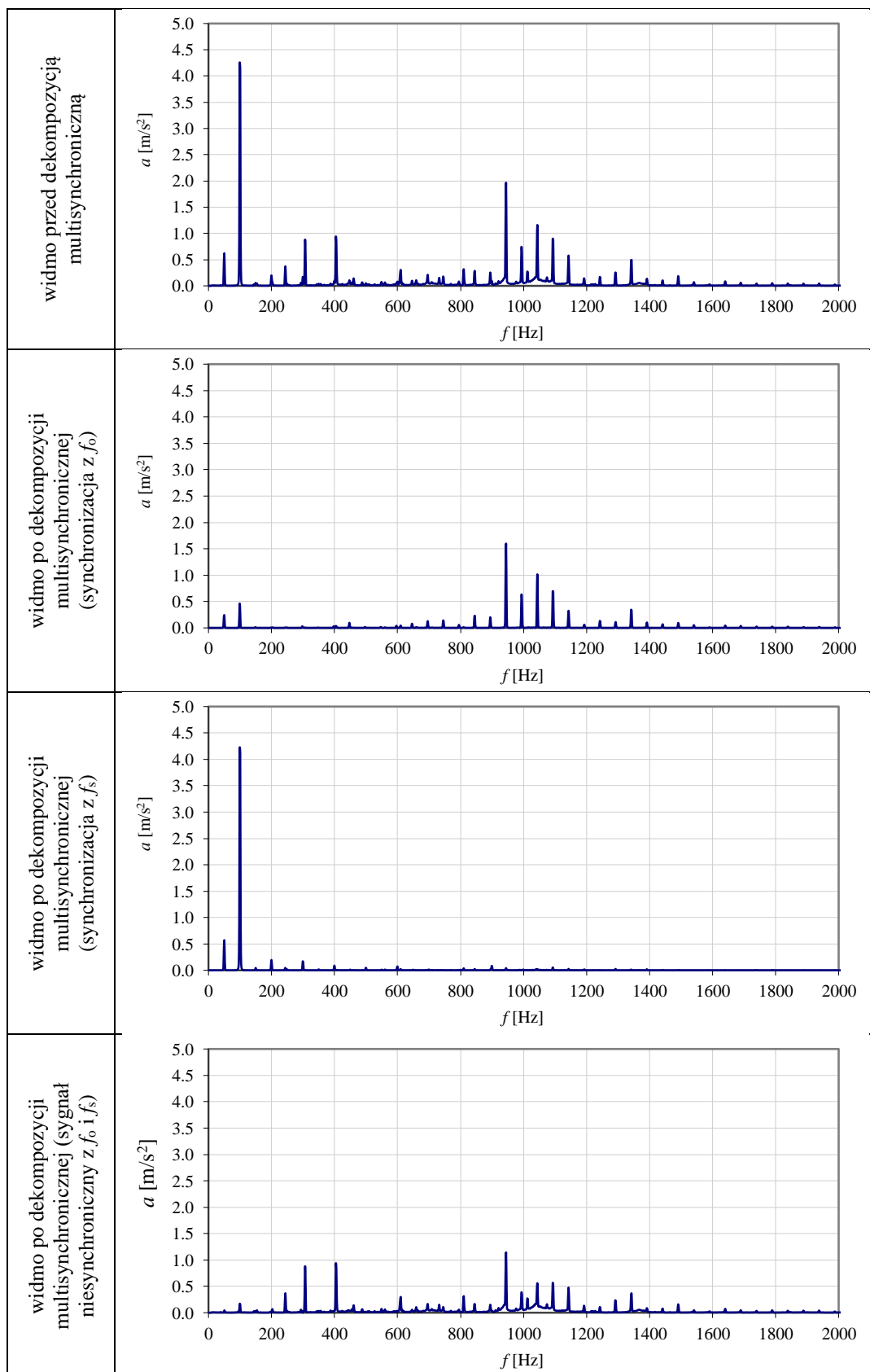
Rys. 4. Widma przyspieszeń drgań silnika GUNT PT500.19 rejestrowanych na czujniku 1 w kierunku osiowym do korpusu silnika przed i po procesie dekompozycji multisynchronicznej (powiększony rezystancja fazy L3 o 1Ω) [opr. własne]



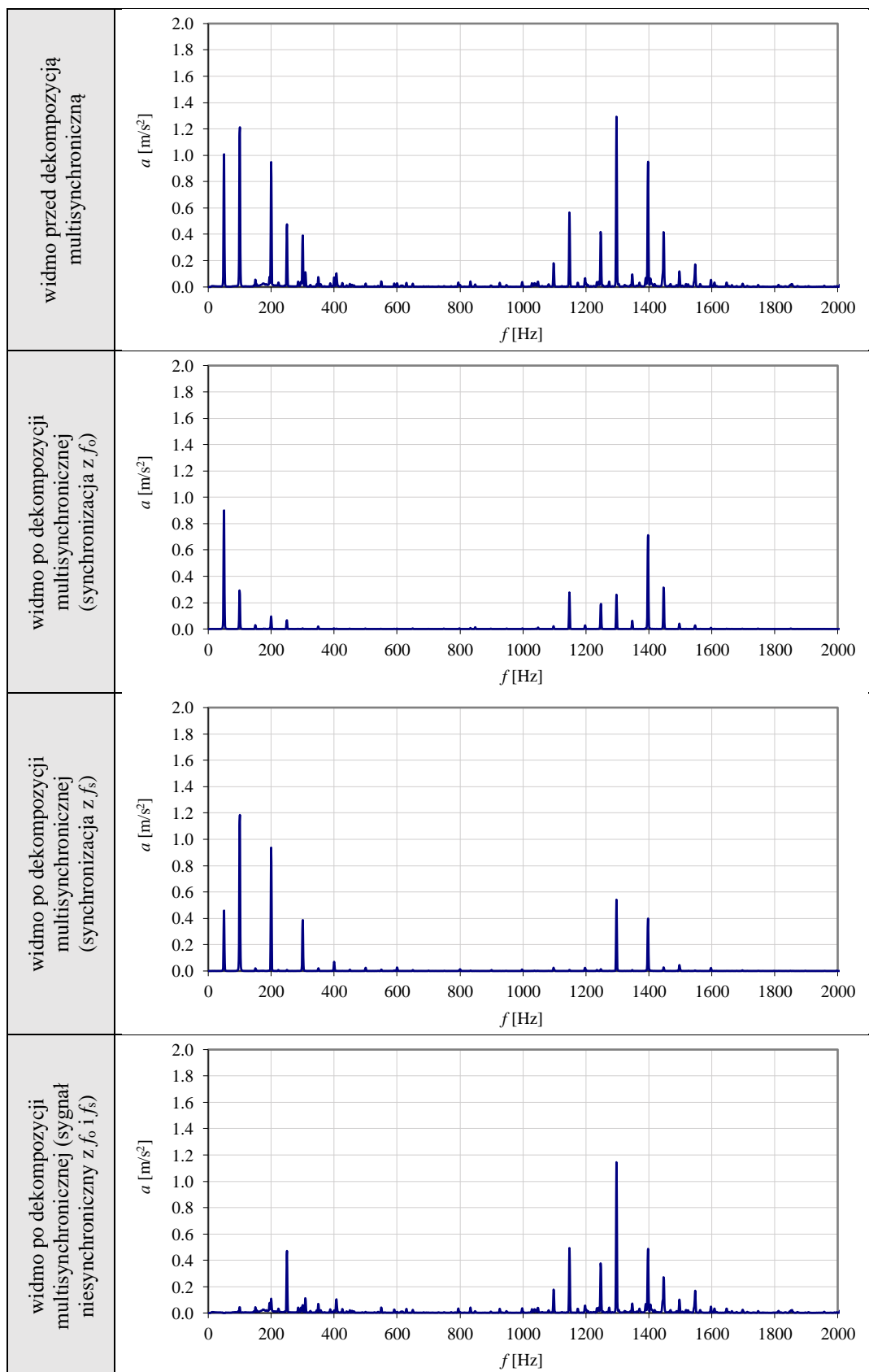
Rys. 5. Widma przyspieszeń drgań silnika GUNT PT500.19 rejestrowanych na czujniku 1 w kierunku osiowym do korpusu silnika przed i po procesie dekompozycji multisynchronicznej (powiększony rezystancja fazy L3 o 30Ω) [opr. własne]



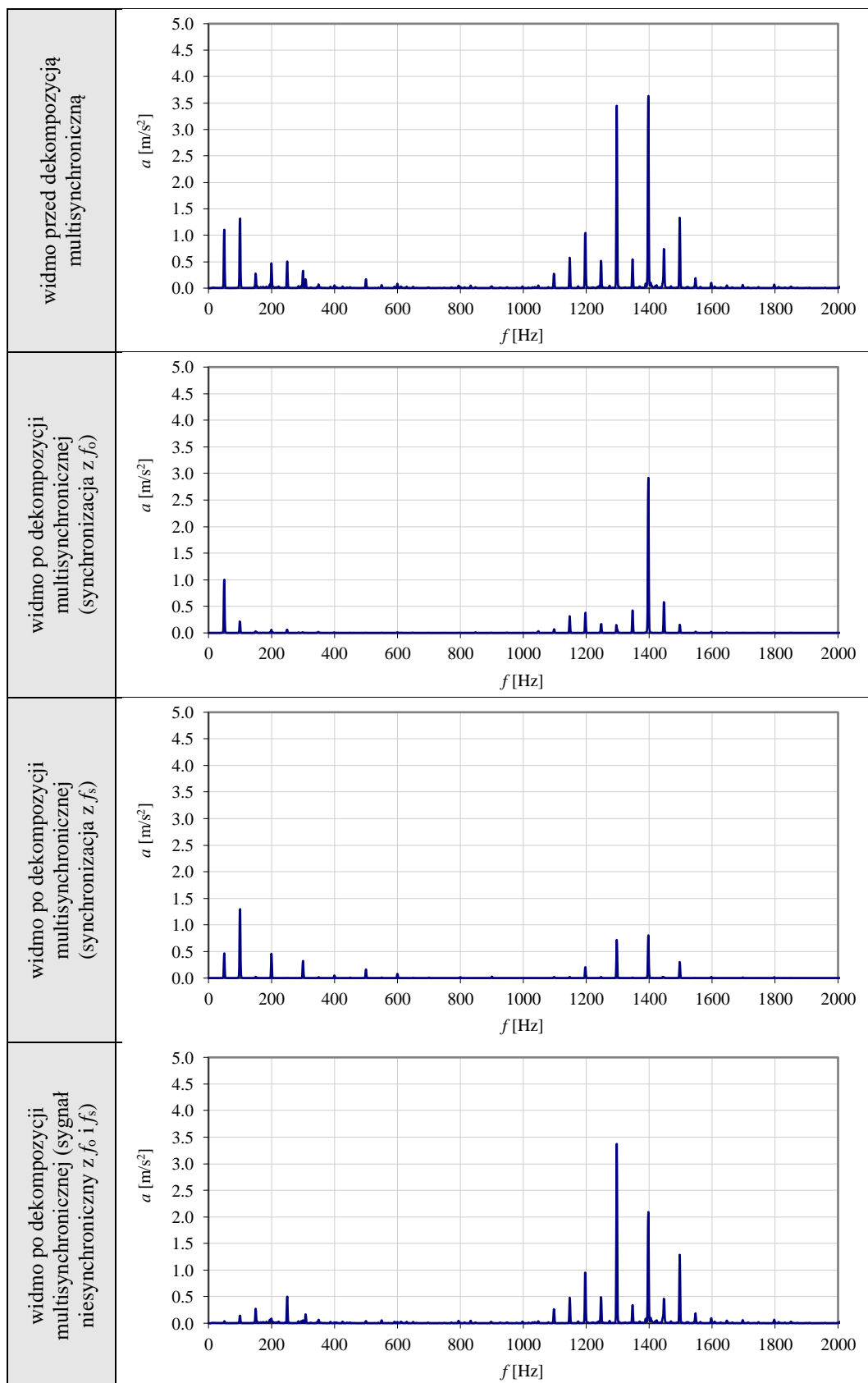
Rys. 6. Widma przyspieszeń drgań silnika GUNT PT500.19 rejestrowanych na czujniku 1 w kierunku osiowym do korpusu silnika przed i po procesie dekompozycji multisynchronicznej (całkowite odłączenie fazy L1) [opr. własne]



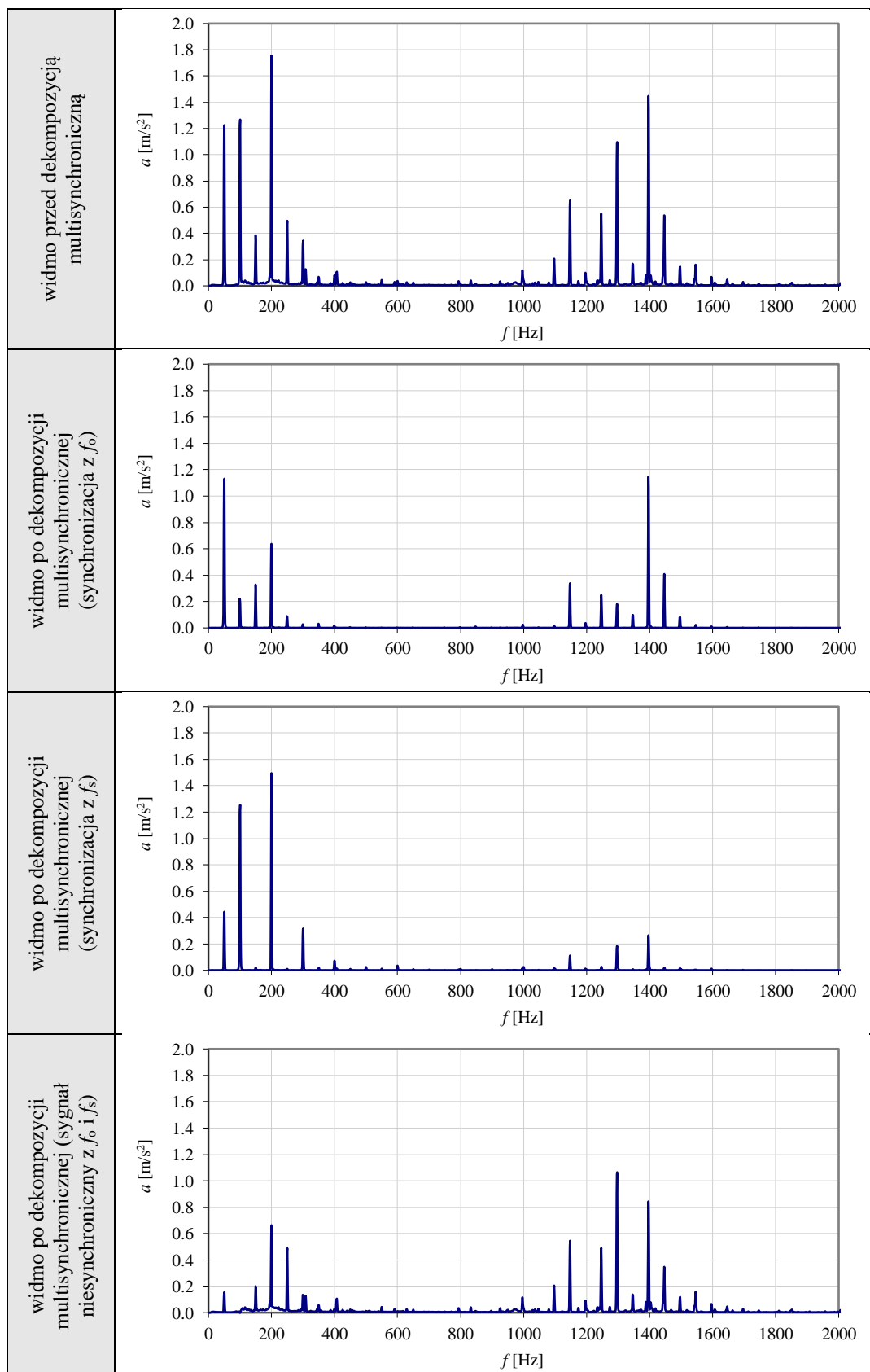
Rys. 7. Widma przyspieszeń silnika GUNT PT500.19 rejestrowanych na czujniku 1 w kierunku osiowym do korpusu silnika przed i po procesie dekompozycji multisynchronicznej (praca ze zwiększonymi oporami ruchu) [opr. własne]



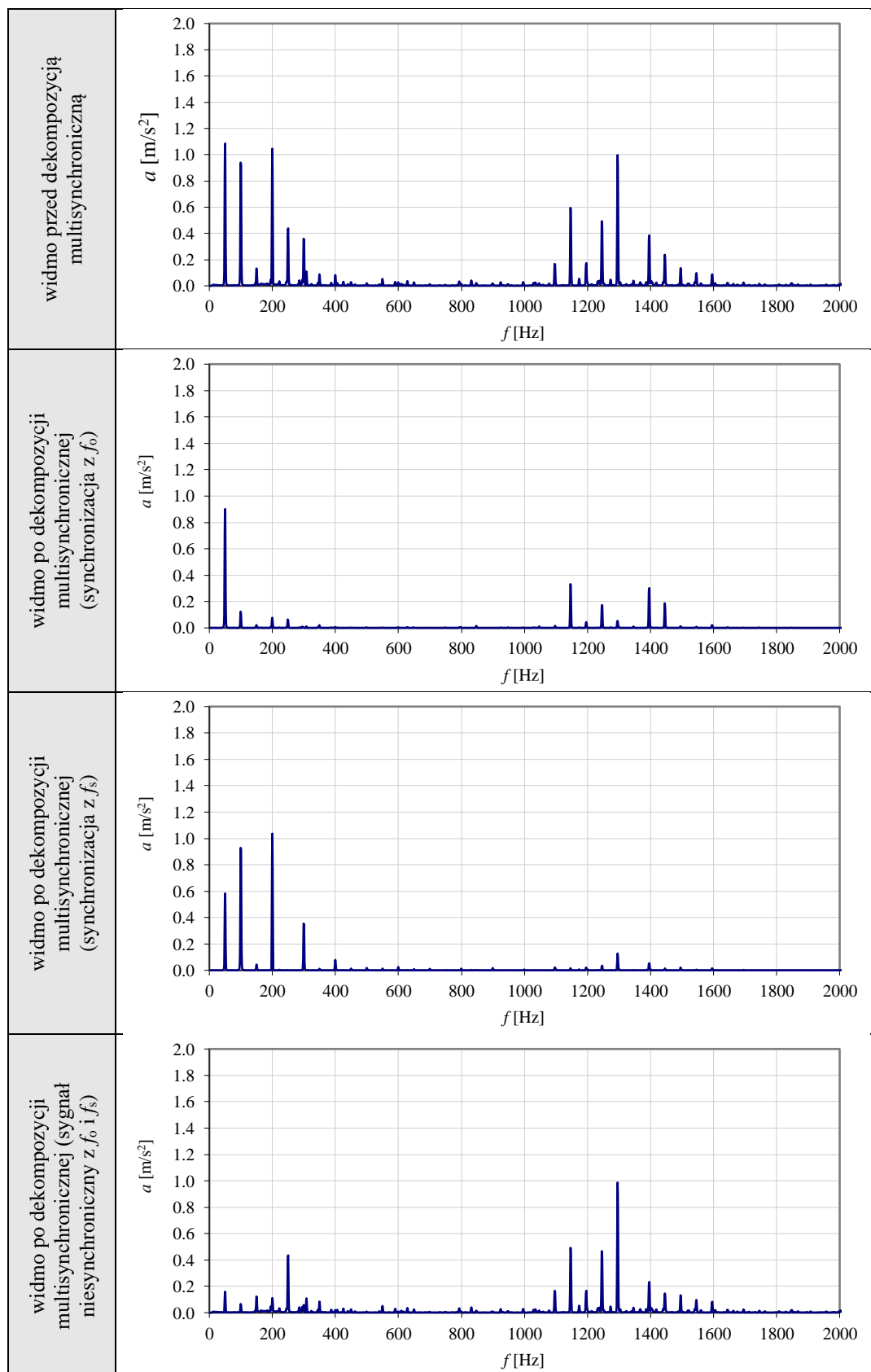
Rys. 8. Widma przyspieszeń drgań silnika GUNT PT500.19 rejestrowanych na czujniku 1 w kierunku stycznym do korpusu silnika przed i po procesie dekompozycji multisynchronicznej (silnik bez wad) [opr. własne]



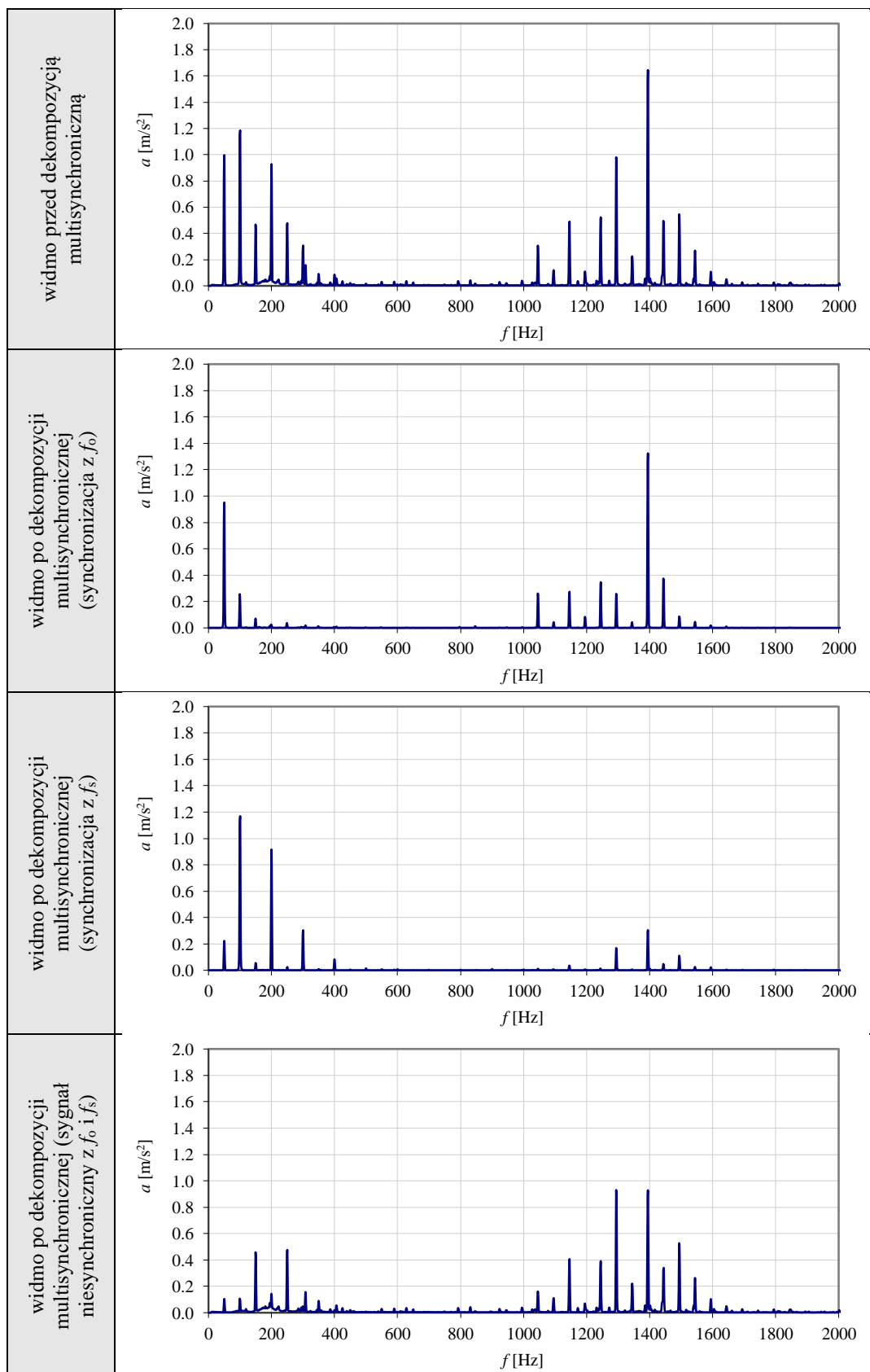
Rys. 9. Widma przyspieszeń drgań silnika GUNT PT500.19 rejestrowanych na czujniku 1 w kierunku stycznym do korpusu silnika przed i po procesie dekompozycji multisynchronicznej (powiększona niecentryczność wirnika względem stojana o ok. 0,2 mm) [opr. własne]



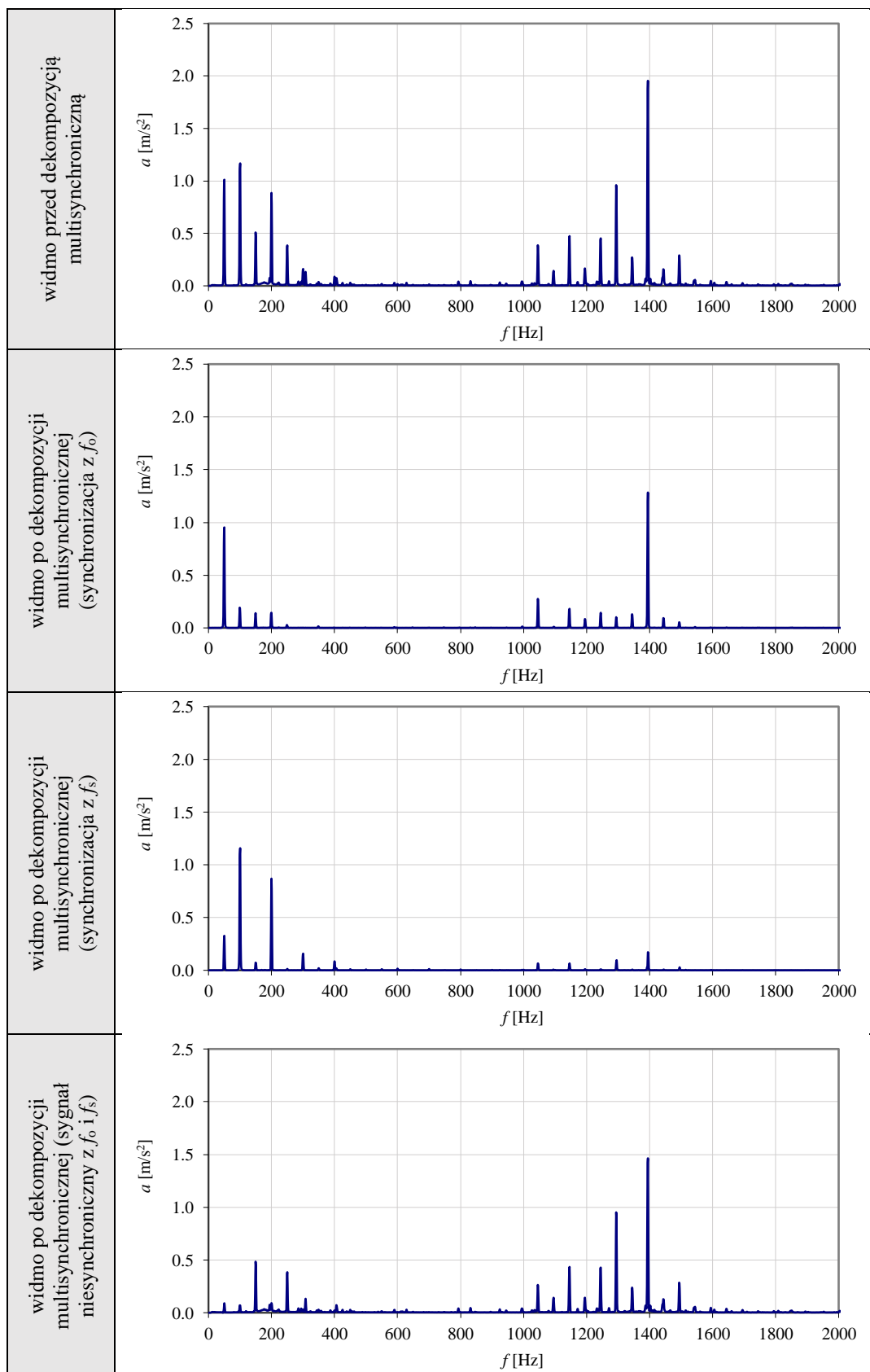
Rys. 10. Widma przyspieszeń drgań silnika GUNT PT500.19 rejestrowanych na czujniku 1 w kierunku stycznym do korpusu silnika przed i po procesie dekompozycji multisynchronicznej (niewyważenie wirnika 180 g·mm) [opr. własne]



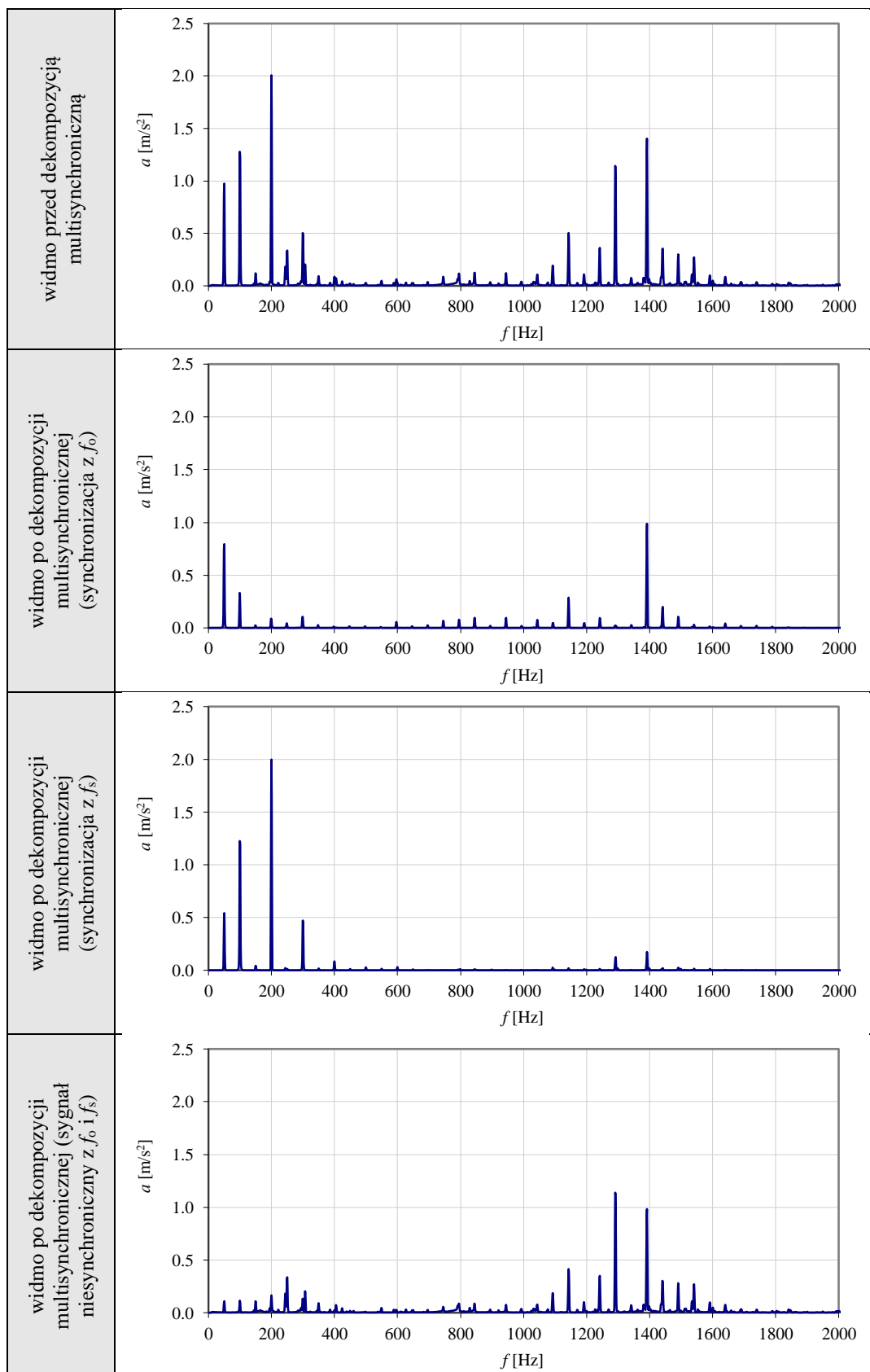
Rys. 11. Widma przyspieszeń drgań silnika silnika GUNT PT500.19 rejestrowanych na czujniku 1 w kierunku stycznym do korpusu silnika przed i po procesie dekompozycji multisynchronicznej (powiększony rezystancja fazy L3 o 1Ω) [opr. własne]



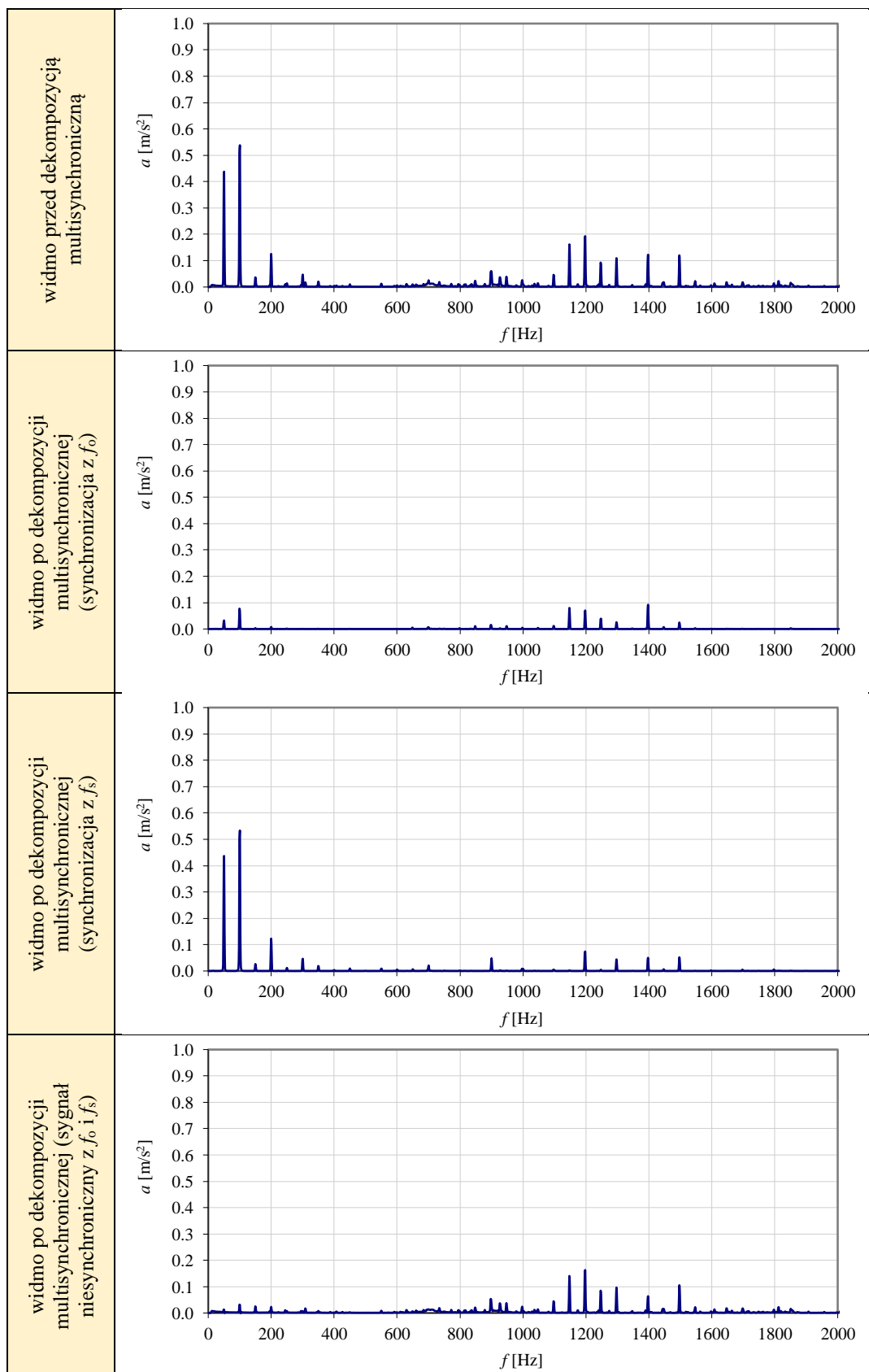
Rys. 12. Widma przyspieszeń drgań silnika GUNT PT500.19 rejestrowanych na czujniku 1 w kierunku stycznym do korpusu silnika przed i po procesie dekompozycji multisynchronicznej (powiększona rezystancja fazy L3 o 30Ω) [opr. własne]



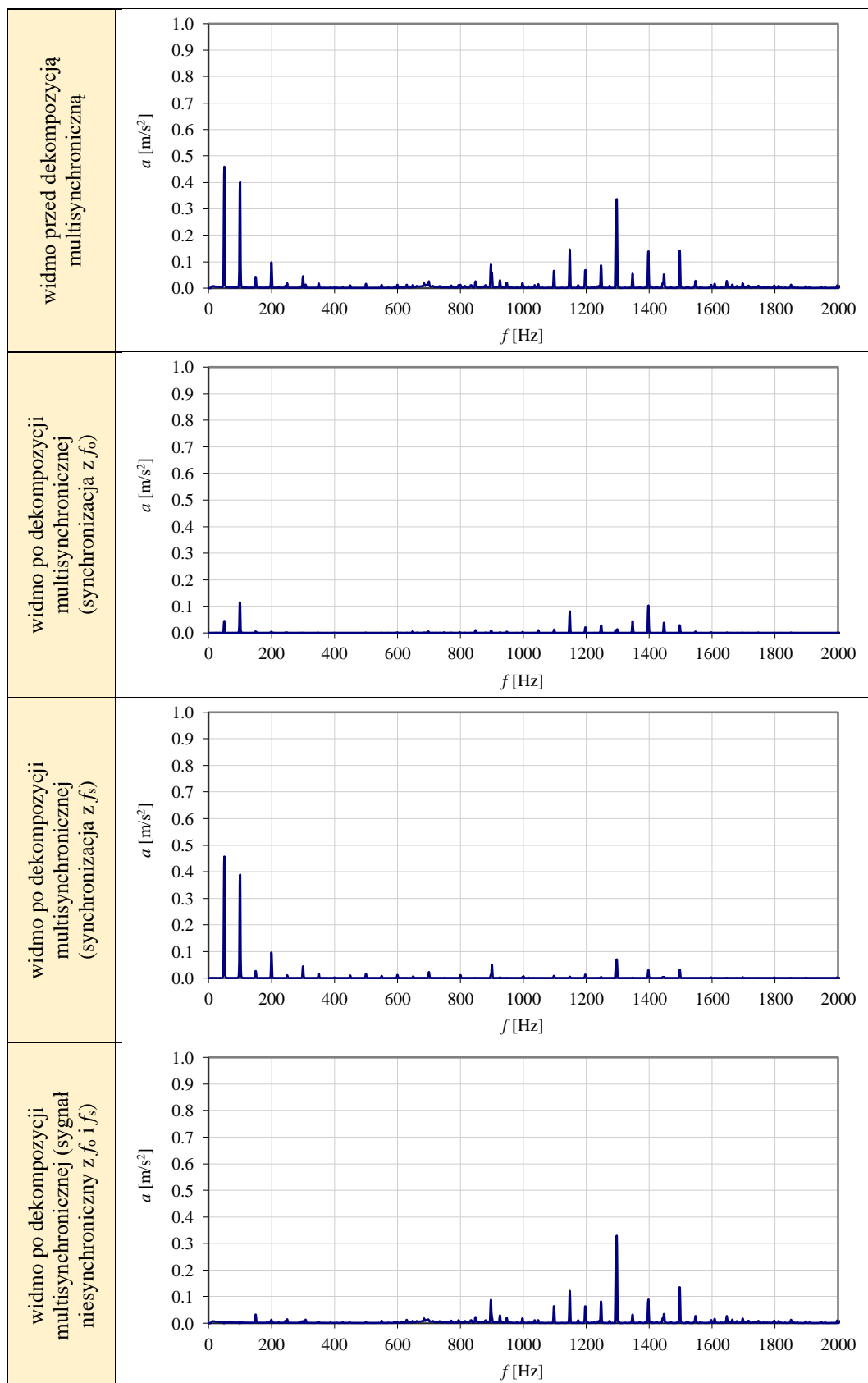
Rys. 13. Widma przyspieszeń drgań silnika GUNT PT500.19 rejestrowanych na czujniku 1 w kierunku stycznym do korpusu silnika przed i po procesie dekompozycji multisynchronicznej (całkowite odłączenie fazy L1) [opr. własne]



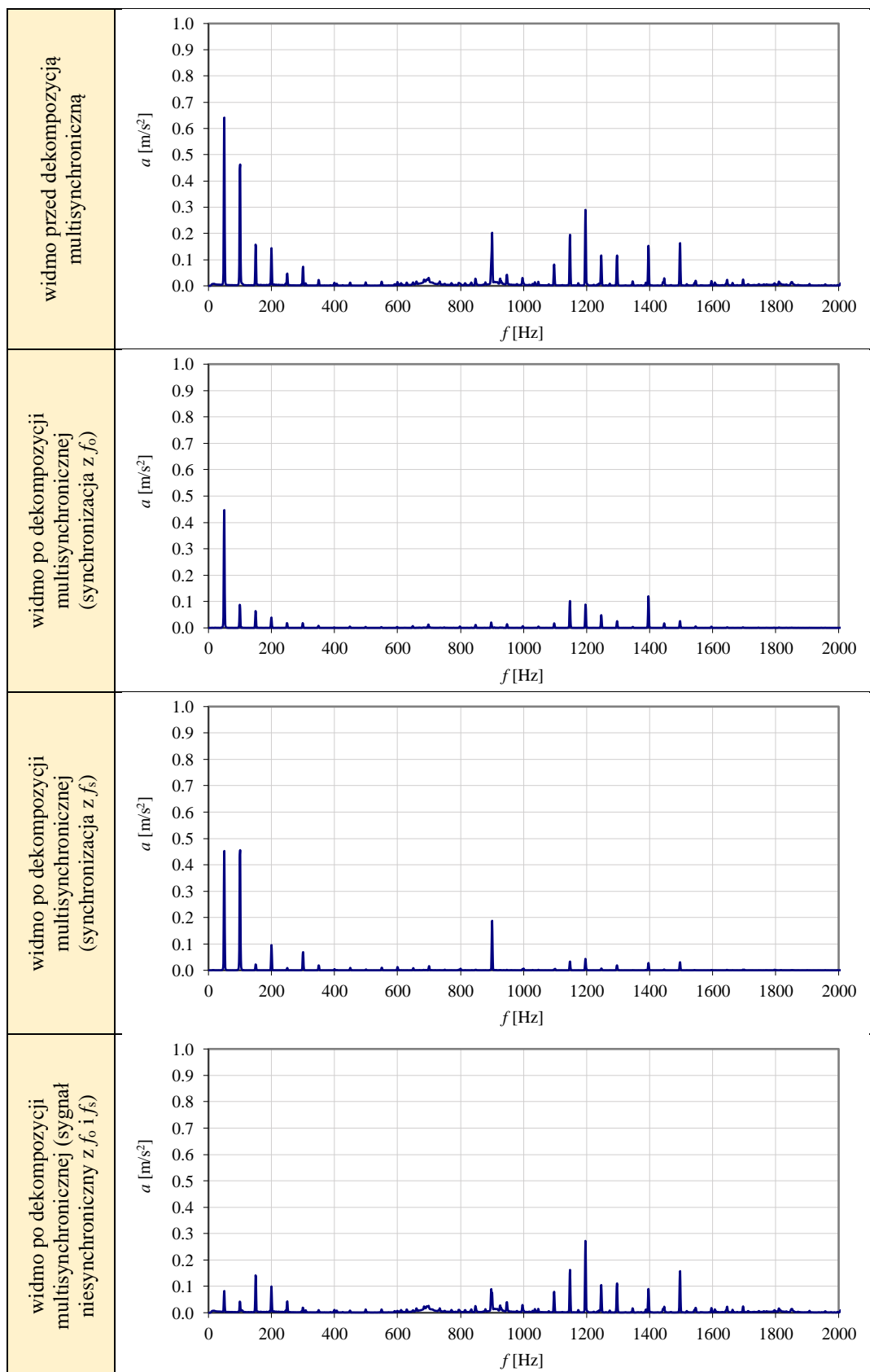
Rys. 14. Widma przyspieszeń drgań silnika GUNT PT500.19 rejestrowanych na czujniku 1 w kierunku stycznym do korpusu silnika przed i po procesie dekompozycji multisynchronicznej (praca ze zwiększonymi oporami ruchu) [opr. własne]



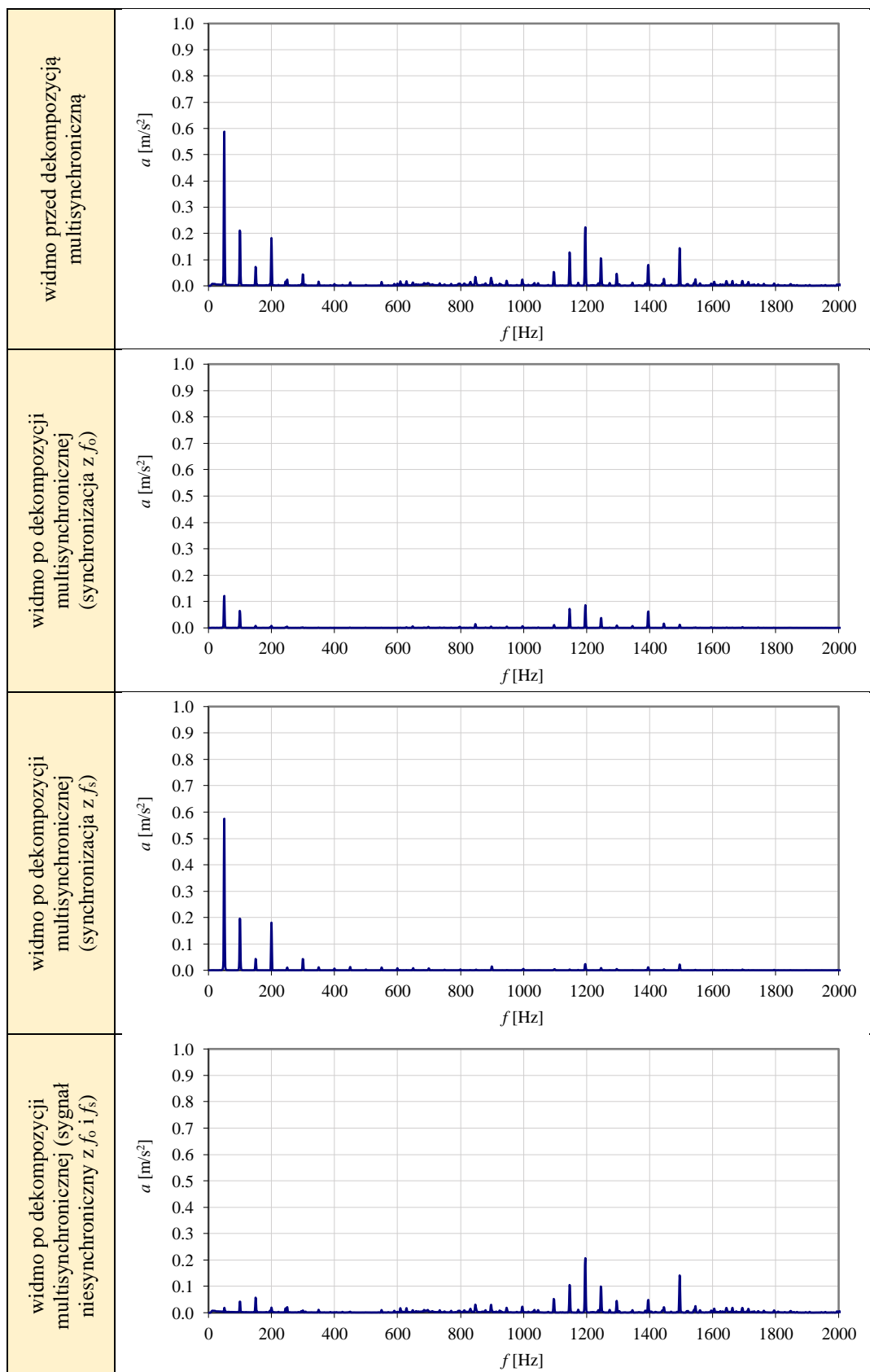
Rys. 15. Widma przyspieszeń drgań silnika GUNT PT500.19 rejestrowanych na czujniku 1 w kierunku promieniowym do korpusu silnika przed i po procesie dekompozycji multisynchronicznej (silnik bez wad) [opr. własne]



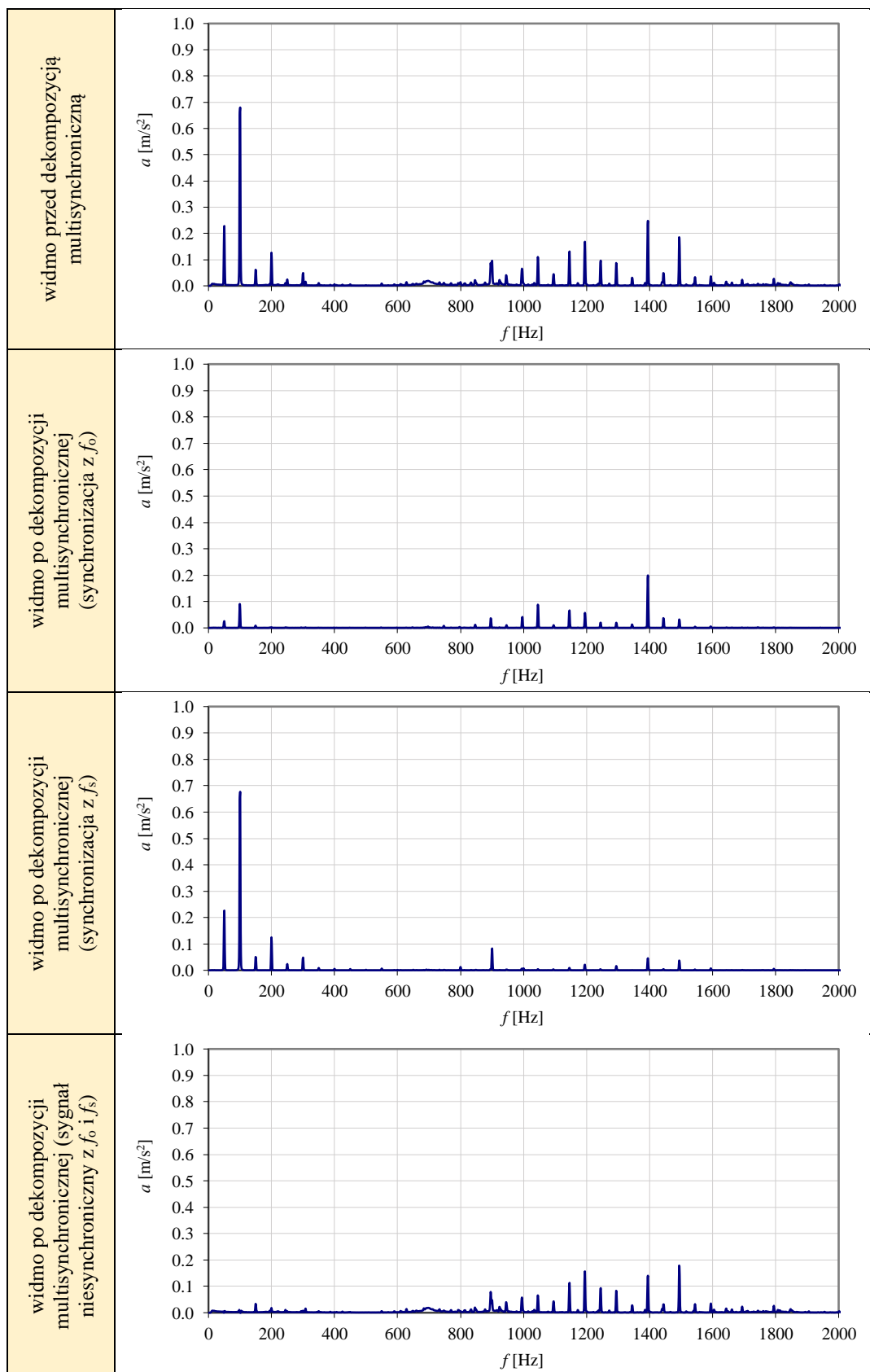
Rys. 16. Widma przyspieszeń drgań silnika silnika GUNT PT500.19 rejestrowanych na czujniku 1 w kierunku promieniowym do korpusu silnika przed i po procesie dekompozycji multisynchronicznej (powiększona niecentryczność wirnika względem stojana o ok. 0,2 mm) [opr. własne]



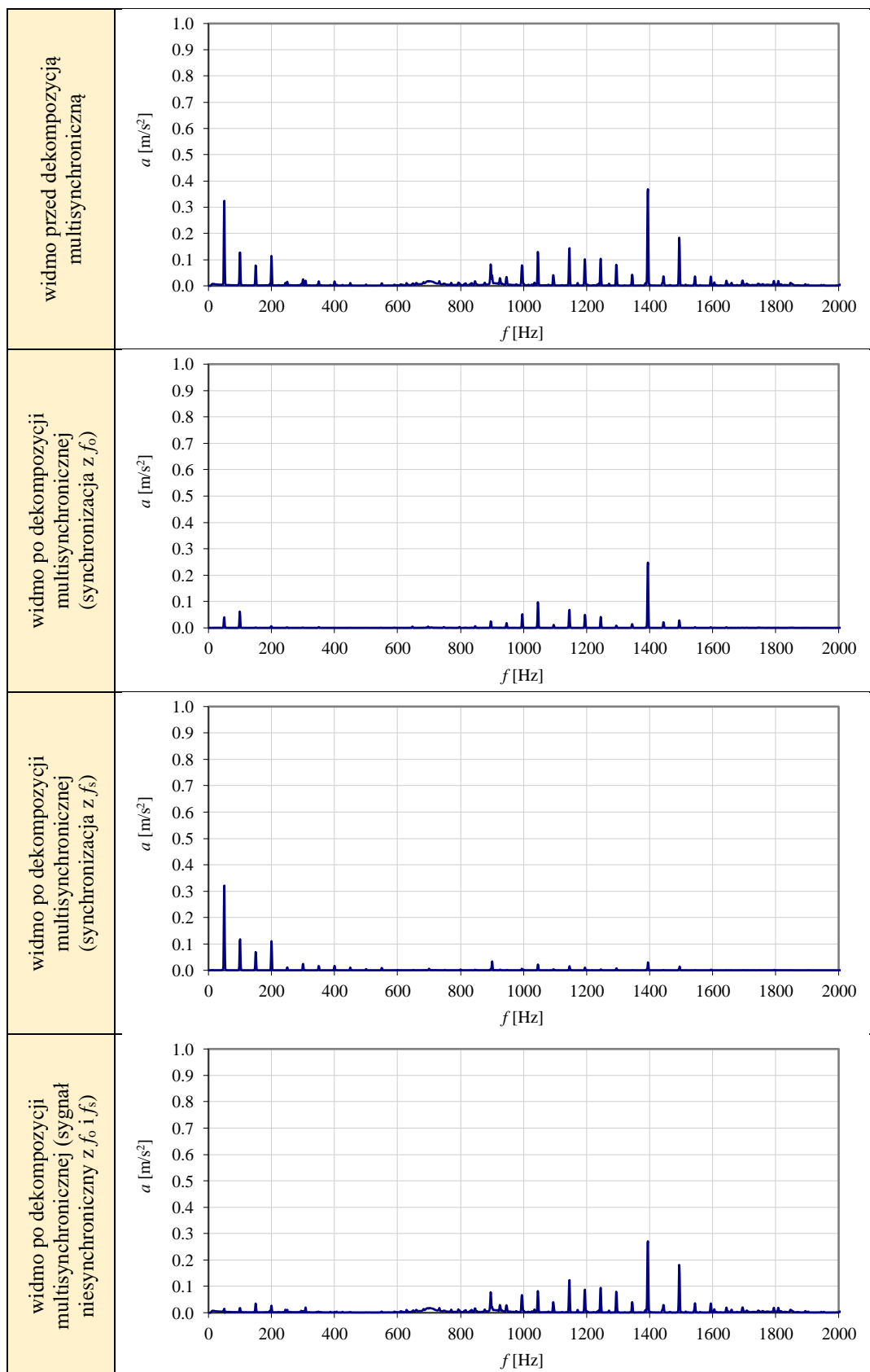
Rys. 17. Widma przyspieszeń drgań silnika silnika GUNT PT500.19 rejestrowanych na czujniku 1 w kierunku promieniowym do korpusu silnika przed i po procesie dekompozycji multisynchronicznej (niewyważenie wirnika 180 g·mm) [opr. własne]



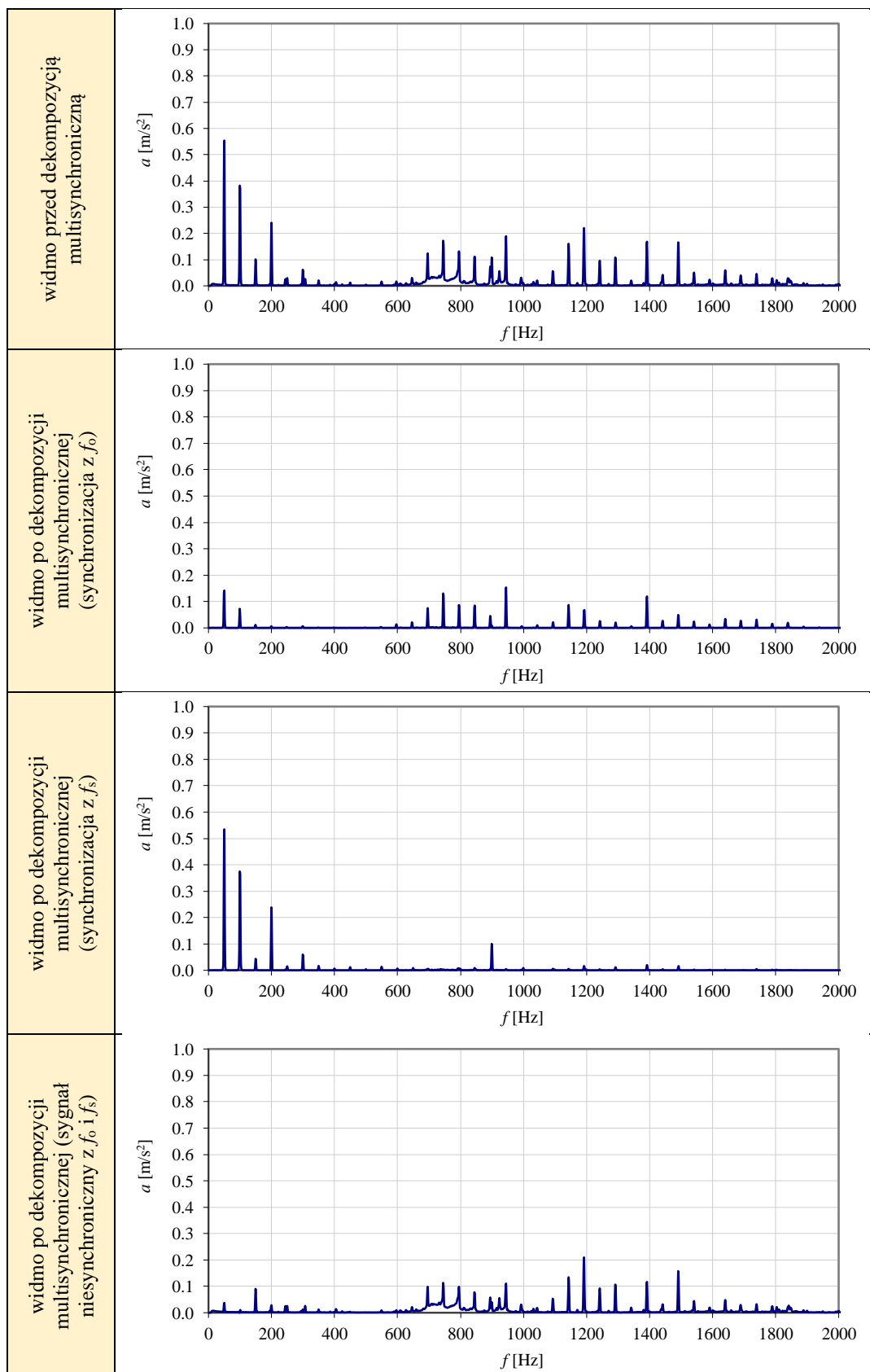
Rys. 18. Widma przyspieszeń drgań silnika silnika GUNT PT500.19 rejestrowanych na czujniku 1 w kierunku promieniowym do korpusu silnika przed i po procesie dekompozycji multisynchronicznej (powiększony rezystancja fazy L3 o 1Ω) [opr. własne]



Rys. 19. Widma przyspieszeń drgań silnika silnika GUNT PT500.19 rejestrowanych na czujniku 1 w kierunku promieniowym do korpusu silnika przed i po procesie dekompozycji multisynchronicznej (powiększony rezystancja fazy L3 o 30Ω) [opr. własne]



Rys. 20. Widma przyspieszeń drgań silnika GUNT PT500.19 rejestrowanych na czujniku 1 w kierunku promieniowym do korpusu silnika przed i po procesie dekompozycji multisynchronicznej (całkowite odłączenie fazy L1) [opr. własne]



Rys. 21. Widma przyspieszeń drgań silnika GUNT PT500.19 rejestrowanych na czujniku 1 w kierunku promieniowym do korpusu silnika przed i po procesie dekompozycji multisynchronicznej (praca ze zwiększonymi oporami ruchu) [opr. własne]